

- Montážní št.:<sup>P1</sup> působení a dim. schodištoný št.

(st. jako konzola, jako p. nosník)

<sup>P2</sup> - protokrová skladba monol. rámu, založení rámu na patkách, na patkách s kloubem

<sup>P3</sup> - napjatost užití síly, rozklad síly, uchlucování ve vrubovém kl.

- při: <sup>P1</sup> nadimenzuje sch. stupni jako p. nosník

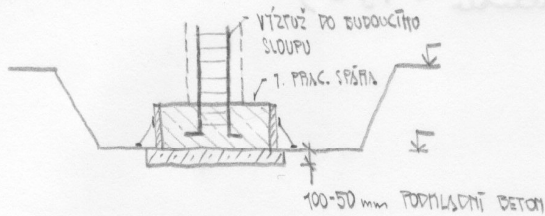
<sup>P2</sup> - konzole

<sup>P3</sup> - namontuje užití vrubového kl. na rotacílovou sílu

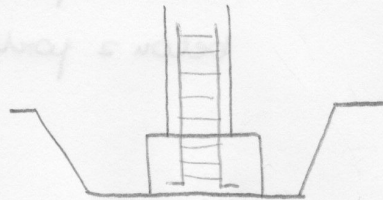
<sup>P4</sup> - na proudající sílu

FÁZE VYSTAVBY MONOL. RÁMU

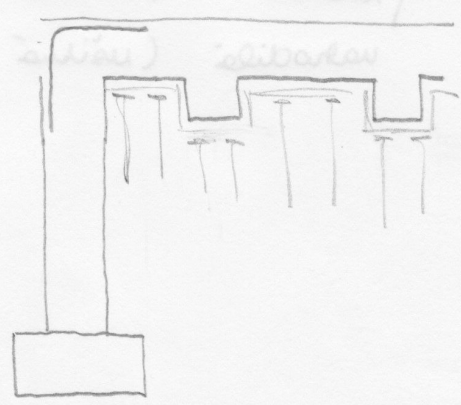
1. FÁZE



2. FÁZE

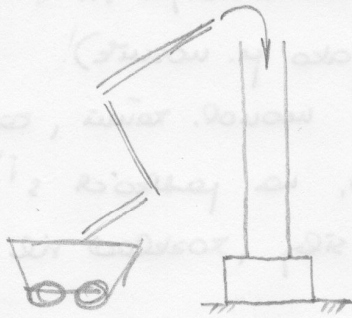


JE MOŽNO VIBROVAT SLOUP AŽ DO PRŮVLAKY



!! pozor na zpečetění prac. spáry

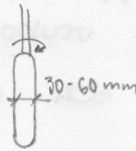
- betonář:



- velko zhutvit!!

• čerpadlem u betonu dopraví do bednění

- kuličky a zpravidla používají  
vibrátory



- směs se ukládá max. 2 vyšší 1,5 m!!

- nedostatky novob. rámců:

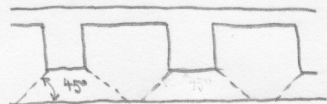
- tepelné únosy
- řízení zvukem
- pracnost (malá <sup>staveništní</sup> mechanice)
- rezonance (beton přel. z železa)

(beton z podl. směsího cementu potřebují  $+10^{\circ}\text{C}$ ,

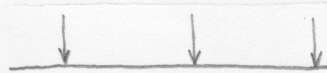
beton z podl. cementu  $- +5^{\circ}\text{C}$ )

ZASTIŽENÍ

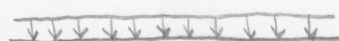
okalá (vl. tíha  $G$ ) } kozmor  
nahodilá (náhlná  $q$ ) }

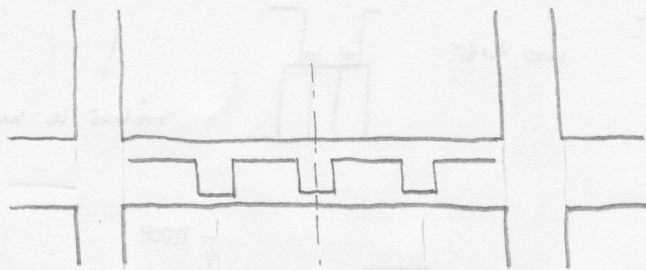


• PŮSOBÍ JAKO OSAMĚLÁ  
BĚŽENIA



• PŮSOBÍ JAKO SPOJITÉ  
ZASTIŽENÍ

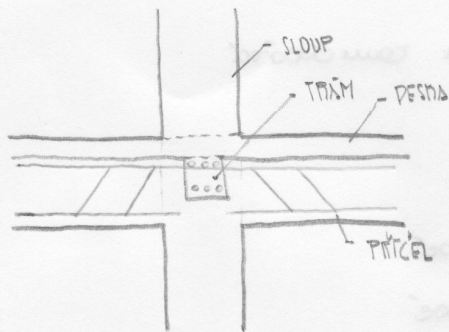




NETI VIMODNÉ!

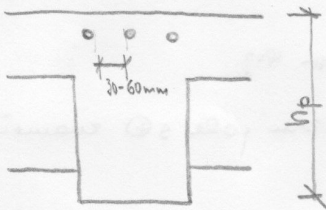
HŮŤ SE NAVRHOJE

- slopek: přičel - trám - sloup



- blbe" z hlediska vřelosti ... jak x da dgr

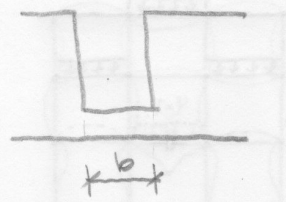
PŘÍČELNĚ



(aby se tam vlezl rebar)

$$h_z = \left(\frac{1}{2} \sim \frac{1}{10}\right) h_p$$

ŽEBRO



$$b = \left(\frac{1}{3} \sim \frac{1}{2}\right) h_z$$

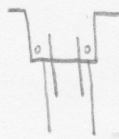
- doporučení rozměry prvků:

- předvěčný návrh:  $h_p = \left(\frac{1}{8} \sim \frac{1}{15}\right) l$

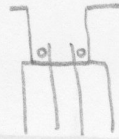
$\frac{1}{3}$  - větší zatížení (obojímenné)

$\frac{1}{15}$  - lehčí dr (administrativní)

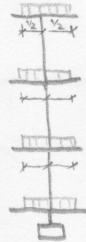
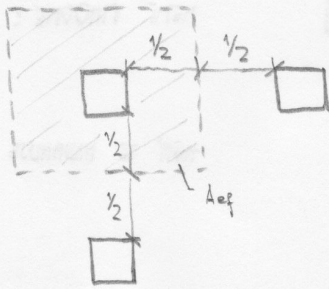
sloup: buď výšší



nebo širší



výšší a více



↓ SLOUP

$$A_{ef} \cdot f_{cd} \geq N_{ed}$$

↓ PÁTEL

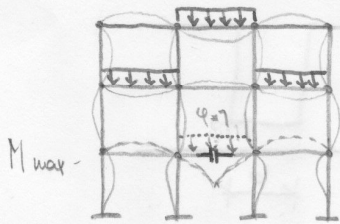
$$\Delta \cdot R_{ed} \geq M_{ed}$$

Lůžnost zemin L říka na pátém

- výšší a v p.č. návrhu zanedbává

- výšší zajištění: dlouhodobé  
krátkodobé

UMÍSTĚNÍ UŽITNĚHO PRŮTOKOVÉHO ZAT.



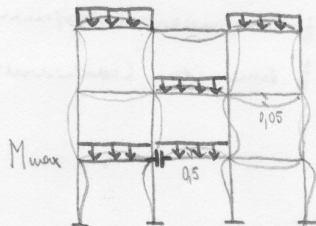
ME PŘÍČNÝCH ČAR

• umístění soum. deformací do  $\pm \varphi = 7$

• aby se dostala  $M_{max}$ , zatížim pole s  $\oplus$  zvažujeme

- levý žach

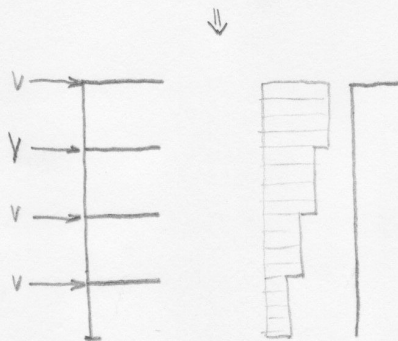
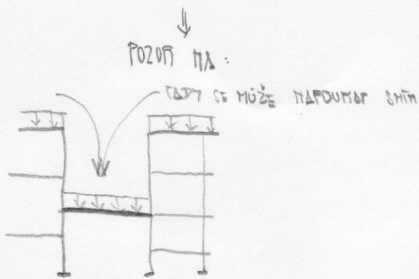
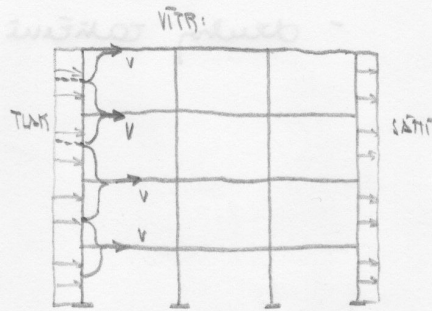
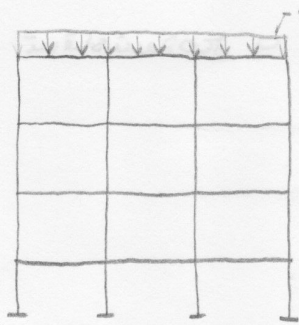
- první žach  
plus výšší



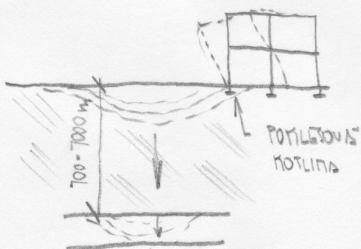
• zatížim dáme k  $\ominus$

- zatížení klimatická: - sníh

- vítr



- zatížení podlahováním



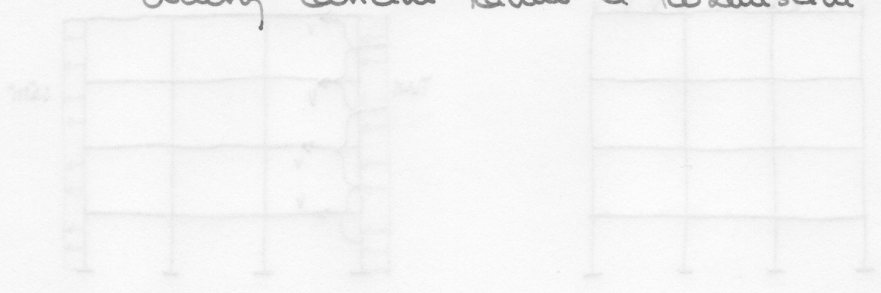
- český úřad definuje: sedání  
pootočení

- dynamické zatížení



- velký dynamický výpočet - řešení kolikrát rychleji/lehčeji  
větší než statické

- leoneta. obraty: - p'udboz'nyj u'v'nyj rozmeri r'akov'ka
- roznos zati'eni na p'ri'v'leku
- k'ni uspor'adani p'ly'ch'it'ei
- d'ruhy zati'eni r'ovni a rozemist'eni u's. zal.

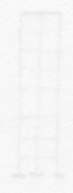


obraz' p'odobno'j z'v'z'ki



obraz' p'odobno'j z'v'z'ki

... obraty p'odobno'j z'v'z'ki ... obraty p'odobno'j z'v'z'ki ... obraty p'odobno'j z'v'z'ki



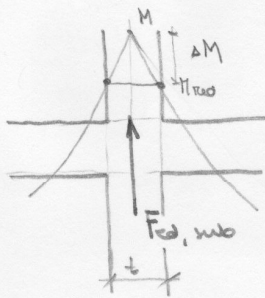
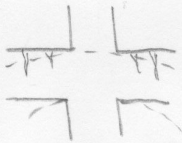
ΓΕΩΜΕΤΡΙΚΑ ΟΥ - metody řešení rámu

- metoda rámových výšek

ΠΛΑΣΤΙΚΑ - metoda rámových výšek uvažuje momenty v  
sadačném úseku pětice, uvažujeme a provedli  
výsledk

1 ke 3. př.

- vlivem redistribuce



$$\Delta M = F_{Ed, sup} \cdot d$$

$$M_{red} = M_{geor} - \Delta M$$

$$M_{red} \geq 0,65 M_{ed, fix}$$

$$M_{red} \geq M_{ed, fix}$$

## VTIŽOVÁNÍ PŘÍMÝCH STŘEŠNÍKŮ

- zajistit bezpečnost:
  - kolenní délky
  - dostatečné ohykování
  - řezbi
  - uskytovat v loží. oblasti

1T) Pevnost a dimenzování sčítacího sloupce (železo, průřezová)

2T) Prostorová struktura monolit. rámu, rámcová rámcová na pažkách, s vodorovnými žebry

průřez - napříčný, vnitřní síly, rozložení síly, vyztužování

1P - vodorovný sčítací sloupec jako průřezová

2P - -II- jako železo

3P - vodorovný vnitřní vodorovný železo na vodorov. sílu

4P - vodorovný -II- na vodorov. sílu

medialabily beton:

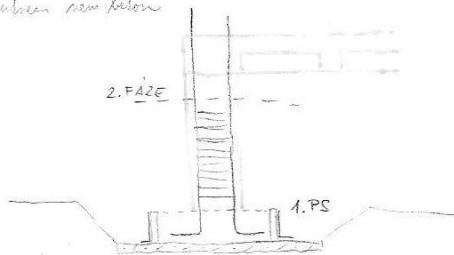
- tepelné mosty
- prázdné stěny
- prázdné (mrtvá váha, mechanika)
- ochrana (prot. chem. útoky +40°C, prot. chem. +5°C)

FÁZE VÝSTAVBY MONOLIT. RÁMU

1. fáze - vodorovný výstuž A pažky

2. fáze - vodorovný sloup

- bez zbytečného množství betonu

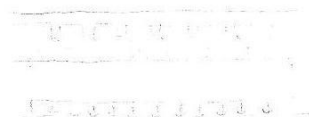
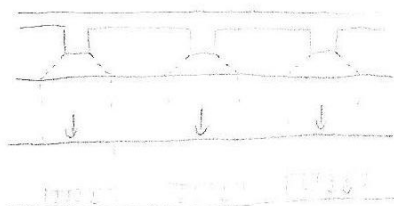


BETONÁŽ

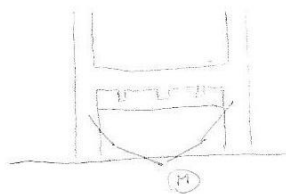


ZATÍŽENÍ

- stěna ... q
- vnitřní ... q
- dlouhodobé
- krátkodobé \*

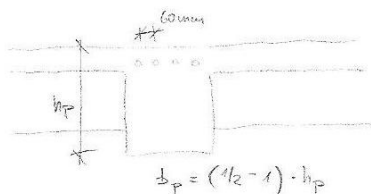
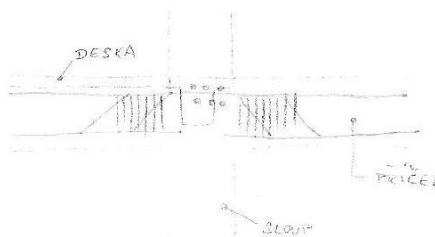


\*



- není třeba dělat  
k tomu doplnění

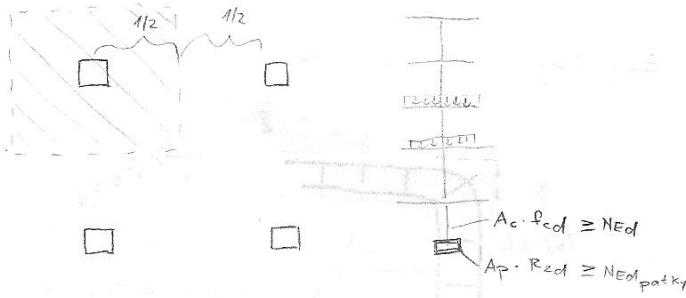
STYKY - PRÍČEL - TRÁM - SLOUP



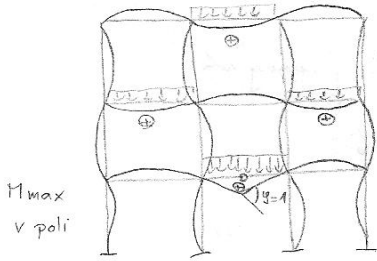
$$h_p = \left(\frac{1}{8} \sim \frac{1}{15}\right) \cdot l \approx \left(\frac{1}{10} \sim \frac{1}{12}\right) \cdot l$$

*silná (režimová)*
*slabá (administrativní)*

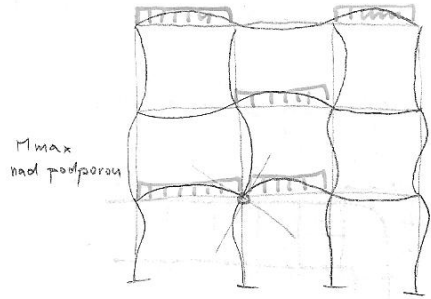
- krajní příčka stěny



\* UMÍSTĚNÍ ÚČITNÉHO KRÁTKODOB. ZAT



L ... levý náčl  
L ... pravý náčl  
plus mínus

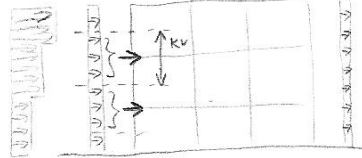
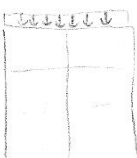


\* - klimatizace

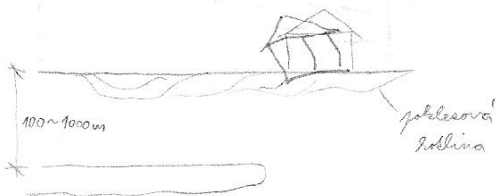


směr

směr



- podhledování



OTÁZKY

- předl. návrh rozměrů stěn, žeb.
- rovnor. natížení na příkladech
- při úpravách střešní - 2 varianty
- dráhy zatížení a rozmístění ústí zatížení

- seizmická (Z, P)

- dynamický výpočet

20.2.

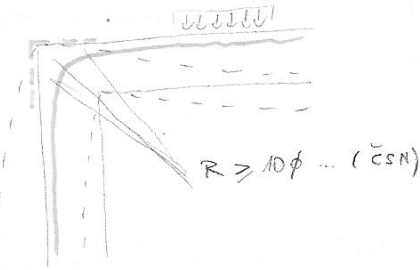
CHOPOK - nástěnová - Páje

27.2.

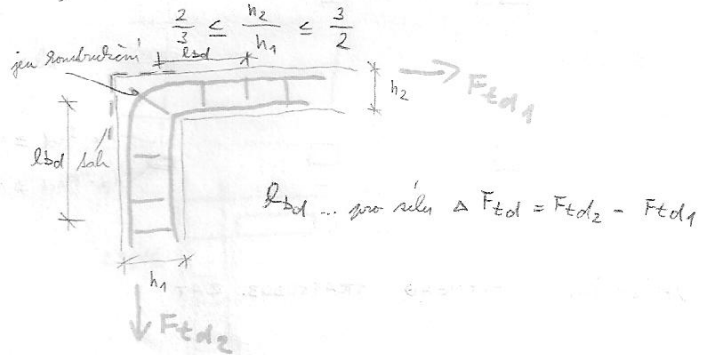
+ REDISTRIBUCE

### VTZTUŽOVÁNÍ RÁMOVÝCH STYČNÍKŮ

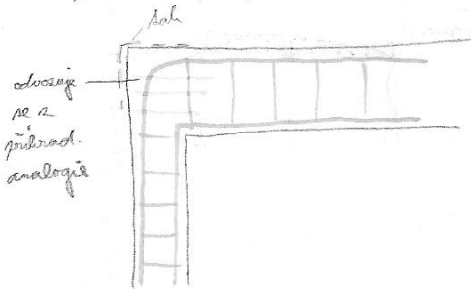
HORNÍ RÁMOVÝ ROH



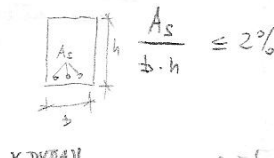
EC: 1(a) "STEJNÝ" SLOUP A PRÍČEL



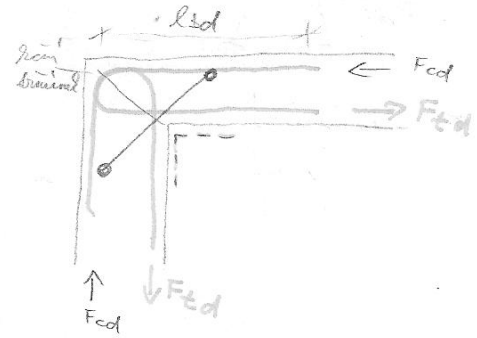
1.3) nejlepší výhled příčle a sloupu



1.2 a) "malé" namáhaný ramenný roh

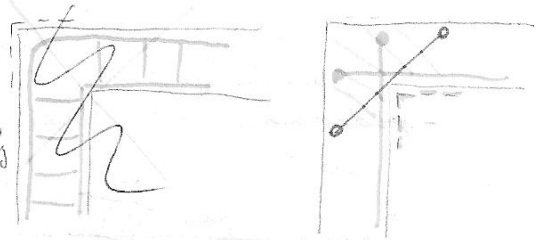


V DUBAJI

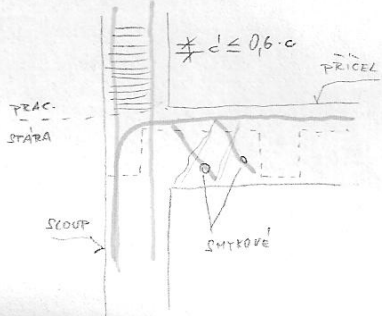


1.2 b)

$\frac{A_s}{b \cdot h} > 2\%$   
"velké" namáhaný styčník

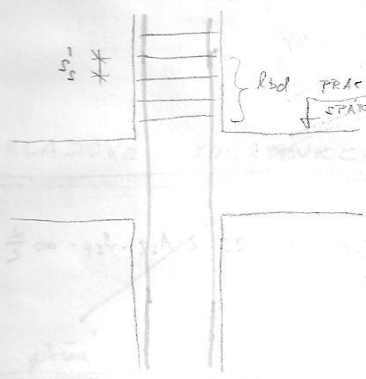


### 2. KRAJNÍ PRŮBĚŽNÝ STYČNÍK



### 3 - VNITŘNÍ STYČNÍK

3a) - STEJNÉ PRŮŘEZY

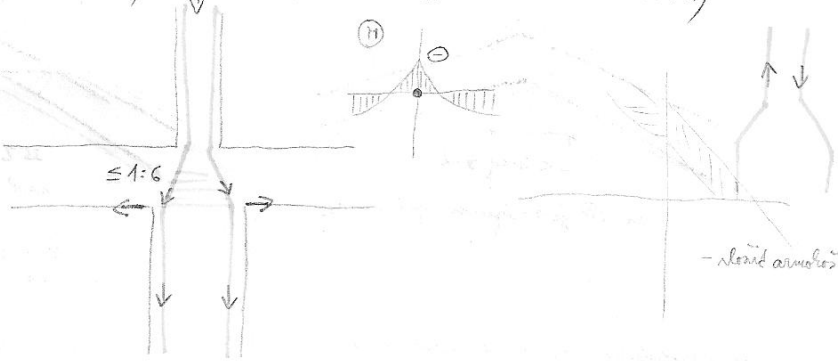


3b)

VAR 1)

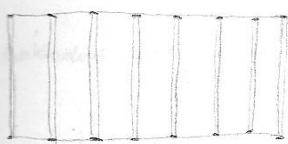
TŘEVLA DA SVISCE ZAT.

VAR 2)

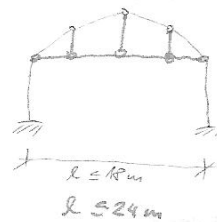
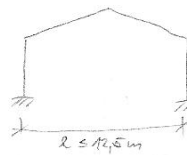
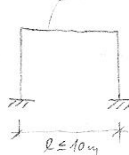


### RAMY JEDNODLAŽNÍCH HAL

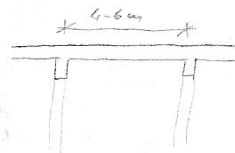
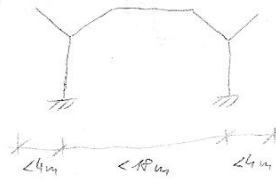
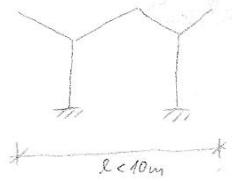
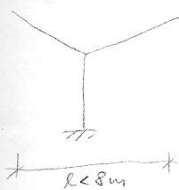
a) - průřez



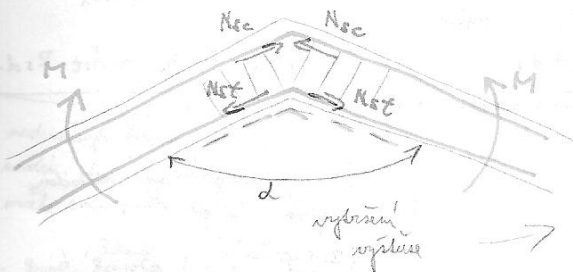
JEDNODLOŽNÍ



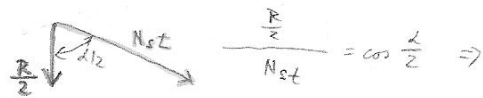
dvoubayový



LOMT VARNÍKŮ



1. VYJÁDRĚNÍ  $R \oplus$  ZE SIL VE VÝSTUŽI



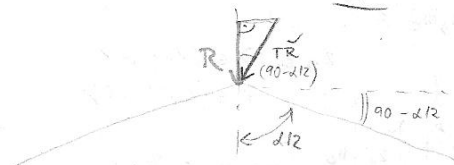
$$\frac{R/2}{N_{st}} = \cos \frac{d}{2} \Rightarrow$$

$$\Rightarrow R = 2 \cdot N_{st} \cdot \cos \frac{d}{2}$$

$$R = 2 \cdot A_{st} \cdot f_{sd} \cdot \cos \frac{d}{2}$$

2. VYJÁDRĚNÍ PRŮMĚTU ÚNOSNOSTI TĚMÍNKŮ

DO SMĚRU VÝSLEDNICE  $R$



$$\frac{R}{TR} = \cos (90 - \frac{d}{2}) \Rightarrow$$

$$\Rightarrow R = TR \cdot \cos (90 - \frac{d}{2})$$

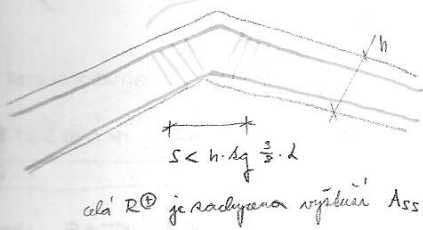
$$R = A_{cc} \cdot f_{cd} \cdot \cos (90 - \frac{d}{2})$$

3. PROMĚNNÉ OBOU ROVNIC

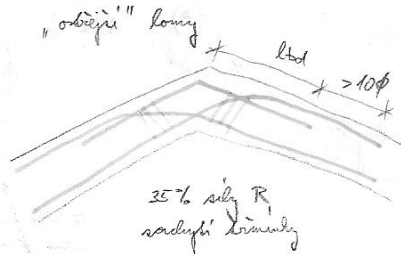
$$2 \cdot A_{st} \cdot f_{sd} \cdot \cos \frac{d}{2} = A_{cc} \cdot f_{cd} \cdot \cos (90 - \frac{d}{2})$$

✶

PRO  $\alpha \geq 160^\circ$



PRO  $\alpha < 160^\circ$



$$\Sigma A_{st} \cdot f_{st} \cdot \cos(90 - \alpha/2) = 0,35 \cdot 2 \cdot A_{st} \cdot f_{st} \cdot \cos \frac{\alpha}{2}$$

TO: radububus a radubus momentu v tramu kei  
vyplneni rovnouzle skypinai

konu raiu 1/2 dl. hal

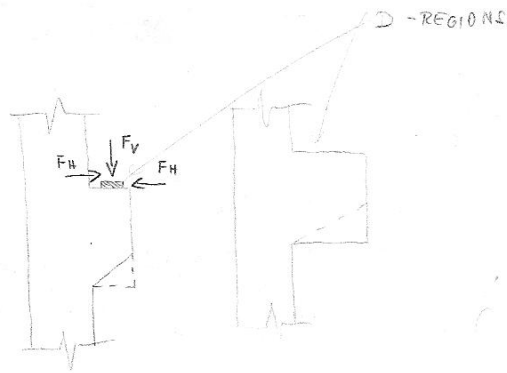
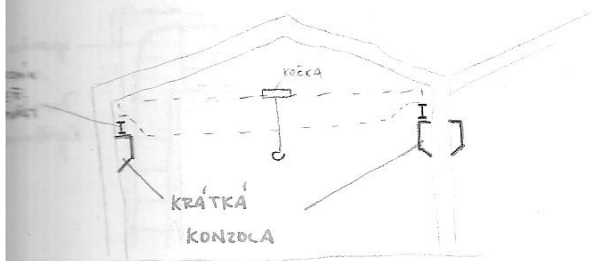
konu varubai - vubru sily, gornu, odobru sily pro radkyzen R

TO: odobru vyplneni konu varubai a rovnouzle kramuly

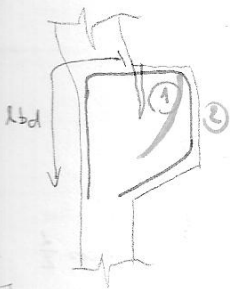
5.3.

KRÁTKÉ KONZOLY

(VE VÝROBNÍCH BUDOVÁCH)



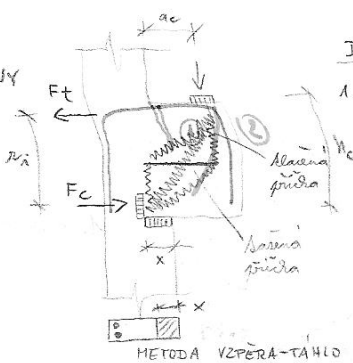
MECHANISMAS PORUŠENÍ



1. TRHLINY ① OSNOVY

2. TRHLINY ② OSNOVY

↓  
dome kramuly



DIMENZOVANÍ

1. úmornost na ob. momenty  
(„godi bld. 1. osnovy“)

$$M_{Ed,EXT} \leq M_{Rd,INT} \leq F_t \cdot x_i$$

$$F_v \cdot a_c + F_h \cdot h_c \leq A_{st} \cdot R_{sk}$$

→ odobru Ast = ...

2. na gornoujru silu meobrou  
vzpera - táhlo

2.1 púrujúru ... model

2.2 podle EC trauubly se na-  
% Ast MAIN

TRMINKY PODLE EC:

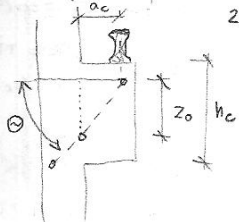
podly 1, ac ≤ z0

2.) lg θ ∈ (10; 2,5)  
θ ∈ (45°; 68°)

pro ac < 1/2 · hc

$$A_{s,ENK,H} = k_1 \cdot A_{s,MAIN}$$

$$k_1 = 0,25$$

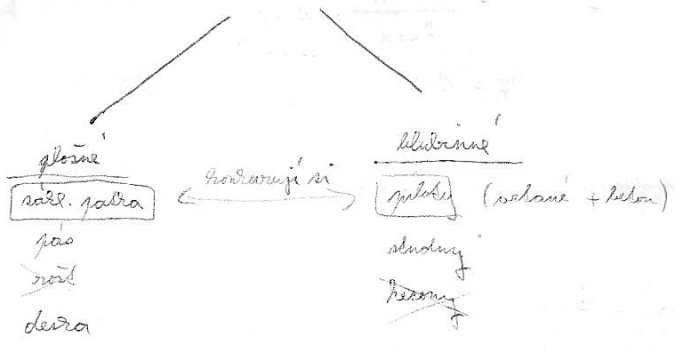


NKS  
ENIKT

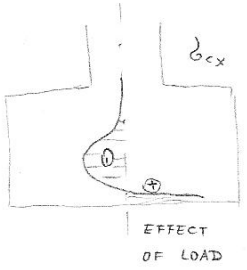
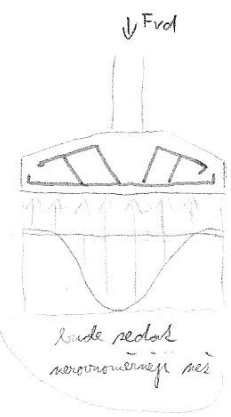
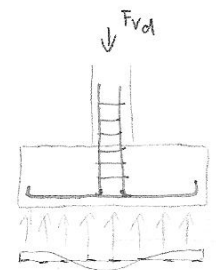
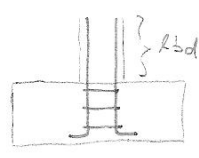
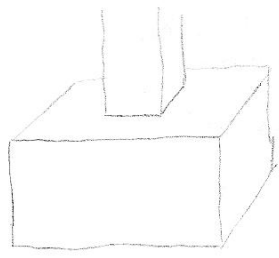
$$\rho_{st} \cdot a_c \geq \frac{1}{2} \cdot h_c \quad \text{a} \quad F_{vd} > V_{rd,c}$$

$$A_{sLNKV} = k_2 \cdot \frac{F_{vd}}{f_{yd}} \quad ; \quad k_2 = 0,5$$

## ZÁKLADOVÉ KONSTRUKCE

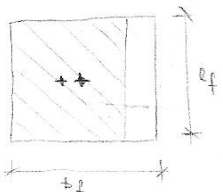
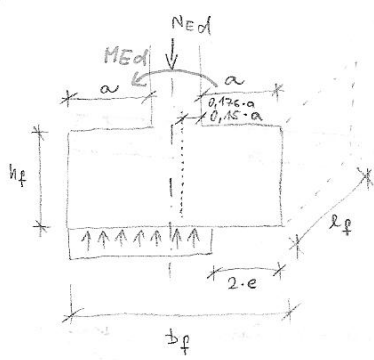


sádkové pásy : - a profilu betonu  
 - a sítěbetonu - bez sítěbetonu  
 - a sítěbetonu - se sítěbetonem



$$N \cdot e = M$$

$$e = \frac{M_{ed}}{N_{ed}}$$



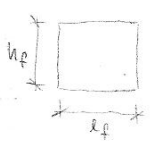
EFFECT OF LOAD

$$1) \sigma_{gd} = \frac{N_{ed}}{(b_f - 2 \cdot e) \cdot l_f}$$

$$M_{ed} = \frac{1}{2} \sigma_{gd} \cdot l_f \cdot (h_0)^2$$

RESISTANCE

$M_{rd}$



$$\sigma_c \leq f_{ctd}$$

$$\sigma = \frac{M}{W}$$

$$M = \sigma \cdot W = f_{ctd} \cdot \frac{1}{6} \cdot l_f \cdot h_f^2$$

$$M_{rd} = \alpha_H \cdot \frac{1}{6} \cdot f_{ctd} \cdot l_f \cdot h_f^2$$

$$\alpha_H = \left(1,6 - \frac{h}{1000}\right) \geq 1,0$$

TO: nadměrně vysoká rozptýlená krátká konzola podle obz. nachl. krátká konzola mále rola páska vyloučí (1,45 - 1,50)

TO: krátká konzola (bez, poměrně, dimenzování, geom. podmínky EC) ŽB pásy pásy z profilu betonu (bez, dimenzování)

12.3.

$$M_{Rd} \geq M_{Ed}$$

$$M_{Rd} = f_{ctd} \cdot b_f \cdot h_f^2 \cdot \frac{1}{6}$$

$$M_{Ed} = \frac{1}{2} \cdot q_{gd} \cdot l_f \cdot (B \cdot a)^2$$

absolutní bezpečná výška patky a prohledá betonem

$$f_{ctd} \cdot b_f \cdot h_f^2 \cdot \frac{1}{6} = \frac{1}{2} \cdot q_{gd} \cdot l_f \cdot (B \cdot a)^2$$

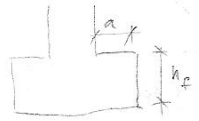
$$f_{ctd} \cdot h_f^2 = 3 \cdot q_{gd} \cdot (B \cdot a)^2$$

$$h_f^2 = \frac{3 \cdot q_{gd}}{f_{ctd}} \cdot (B \cdot a)^2$$

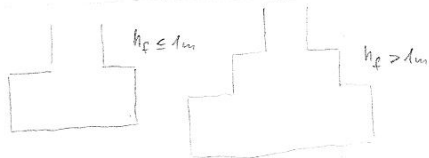
$$h_f = B \cdot a \sqrt{\frac{3 \cdot q_{gd}}{f_{ctd}}}$$

1,15 - ESN  
1,176 - EC

- vyzkoušením lze volit  $h_f \geq 2a$

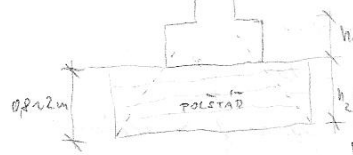


Provedení doplnění



$$R_2 < q_{gd}$$

- výšim zdvihovým i sčítacími zátěží



$R_2$  se objeví až na 0,3-0,5 MPa

$$h_2 = 1,8 \cdot h_1$$

PATKY ZE ŽB

bez výživy výplně

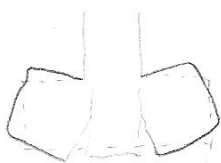


se výž. výplně

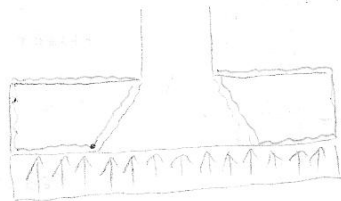


mechanismus posunem ŽB patky

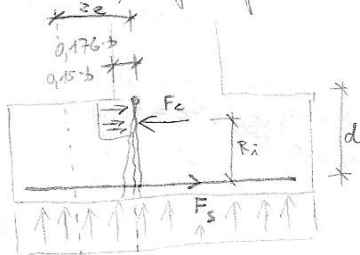
- výživa posunem



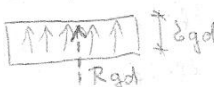
- posunem pulláčením („výživa“)



DMS umístění patky - dle



PO VZNIKU  
TRHLINY



$R_i$  ... rámcová vnitř. síl ( $R_i = 0,9 \cdot d$ )

$z_e$  ... rámcová výšková síl

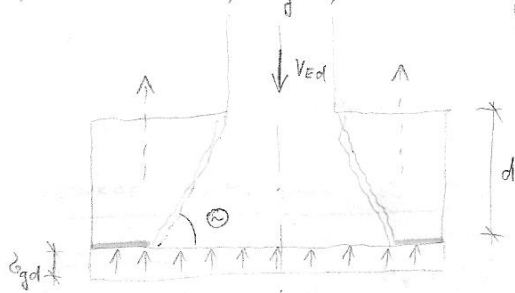
$$M_{EXT} \geq M_{INT}$$

$$(M_{Ed}) \leq M_{Rd}$$

$$R_{gd} \cdot z_e \leq F_c \cdot R_i$$

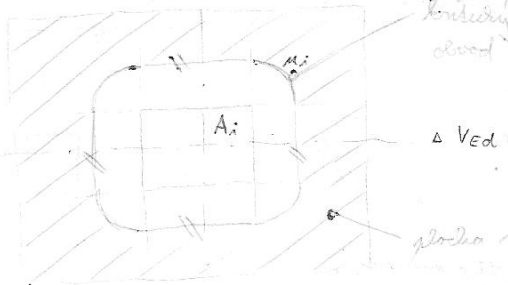
$$R_{gd} \cdot z_e \leq A_s \cdot f_{yd} \cdot z_i$$

2.) MS úmírně pátý - prohlášení (smyk)



redukováno prohlášení síla

$$V_{Ed,red} = V_{Ed} - \Delta V_{Ed}$$



$$\Delta V_{Ed} = A_i \cdot \tau_{qd}$$

plocha a průměrná napětí

$$N_{Ed,i} = \beta \cdot \frac{V_{Ed,red}}{m_i \cdot d}$$

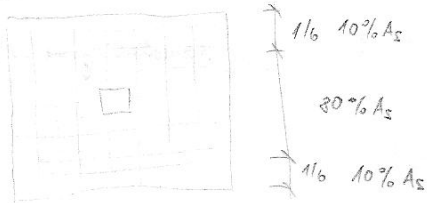
$$\beta \in \langle 1; 1,5 \rangle$$

$$\text{nebo } \textcircled{M} : \beta = 1 + k \cdot \frac{M_{Ed}}{V_{Ed}} \cdot \frac{m_i}{w_i}$$

$$N_{Ed,i} \leq N_{Rd,i} \text{ , když } (N_{Rd,i} - N_{Ed,i})$$

$$N_{Rd,i} = \alpha_{Rd,i} \cdot k \cdot \sqrt{\frac{100 \rho_l}{f_{ct}}} \cdot \frac{z_d}{a}$$

VÝZTUŽ



## ZÁKLADOVÉ PÁSY

pod stěnou  
pod sloupem

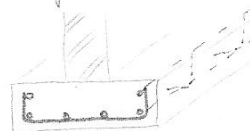


základ v pravoúhlém tvaru  
- viz pátý

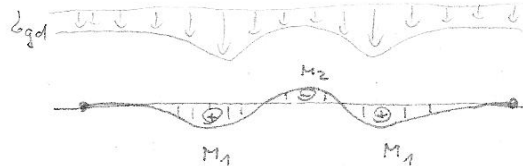
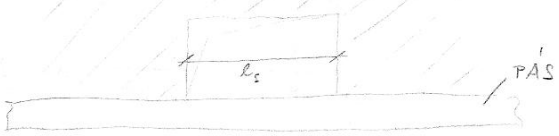
pás a protělo betonem



pás se ŽB  
- na ohyb - viz pátý ŽB



dodatečně vyplněn náhl. pásem pod sloupem



PRIBLIŽNÁ  
 $l = 1,05 \cdot l_c$   
 $M_1 = \frac{1}{12} \sqrt{\tau_{qd}} \cdot l^2$   
 $M_2 = \frac{1}{24} \tau_{qd} \cdot l^2$

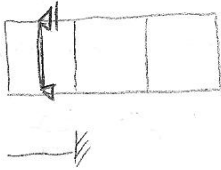
- TO - vodorovný výhled  $\delta B$  patby na slup
- vyšetřte volně plyn pod průběžnou stěnou v příčném směru

- TO -  $\delta B$  patby - mechi. posměn, rovnoběžná na posměn soustavě - směrův šlyben
- " - průběžn
- plyn pod průběžnou stěnou

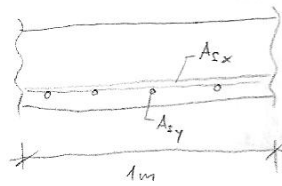
↑ od slup

2.4.

Metoda podle Maxwella (převrácení)



2 dimenzionální (1. MS - moment)

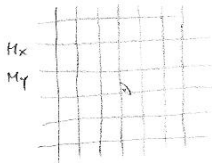
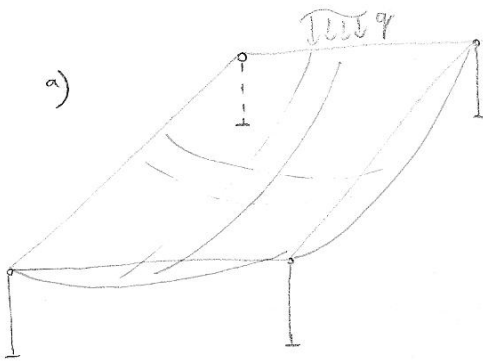


pro  $l_x < l_y$

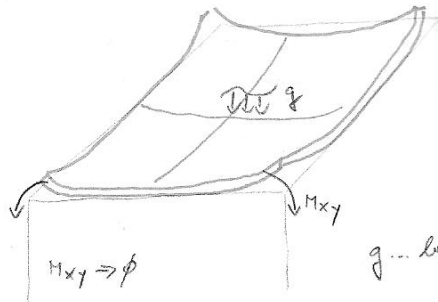
rovnoběžná žlába  $M_{xy}$  (obrovcevní)

ZVLÁŠTNÍ PŘÍPADY PODTŘENÍ

$(M_{xy} \Rightarrow d)$ ;  $M_x, M_y \perp$

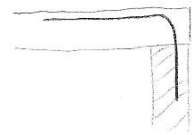
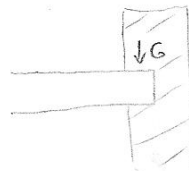


↓, nekombinovaná deska



g... bráně nadrozdávání

konstrukční úpravy



sebráním nadrozdáváním → vznikají  $M_{xy}$ , směrně se  $M_x, M_y$  redukováním souč.  $\mathcal{R}$



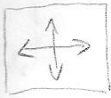
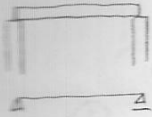
$$I_R = \frac{5}{6} \cdot \frac{l_x^2 + l_y^2}{l_x^4 + l_y^4}$$

$$\text{nebo } I_R = \frac{5}{6} \cdot \frac{l_x^2 \cdot m'_x}{l_y^2 \cdot m\phi_x}$$

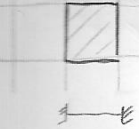
$$m'_x \dots \max \{ M_y \} \text{ v poli}$$

$$m\phi_x \dots 1/8 \cdot q_x \cdot l_x^2$$

REDUKCE  $M_x, M_y$  pomocí  $I_R$



$$M_x = M_x' (1 - I_R)$$



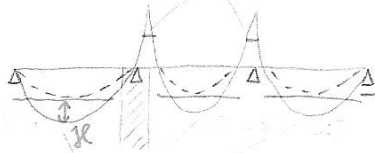
$$M_x = M_x' (1 - 1/3 \cdot I_R)$$



$$M_x = M_x' (1 - 2/3 \cdot I_R)$$

makrodim. momenty spojité desky

ke provedení redukce podle EC

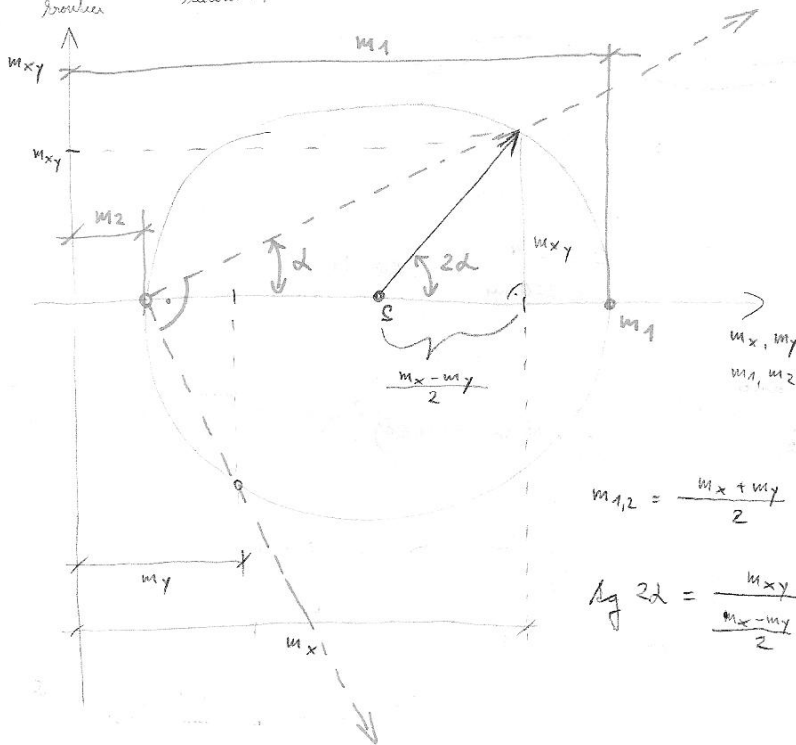


směřují se jen  $M_x, M_y$  v poli

mapred provedení zmenšením  
a redukci, podle požadovaného rozřezání

MOHROVA KRUŽNICE MOMENTŮ

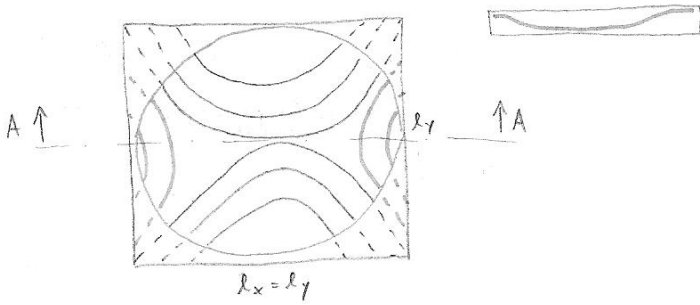
$M_x, M_y$  ;  $M_{xy}$  ;  $M_1, M_2$  ( $M_{xy} = \phi$ )  
složkové ; hlavní ; hlavní M



$$m_{1,2} = \frac{m_x + m_y}{2} \pm \sqrt{\left(\frac{m_x - m_y}{2}\right)^2 + m_{xy}^2}$$

$$\text{tg } 2\alpha = \frac{m_{xy}}{\frac{m_x - m_y}{2}} = \frac{2m_{xy}}{m_x - m_y}$$

— moduli vlákniny, beton  
 - - - - - hornin - - - - -



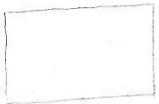
dále zpracováno podle NEXIS, ANSYS

$M_{x,dim}$   
 $M_{y,dim}$

$$M_{x,dim} = \text{sign} \left( \frac{M_x}{y} \right) \cdot \left| \frac{M_x}{y} \right| + \text{sign} \left( \frac{M_y}{x} \right) \cdot \left| \frac{M_y}{x} \right|$$

KONSTRUKČNÍ DOPORUČENÍ - PŘEDBĚŽNÝ NÁVRH TLOUŠTKY  $h_s$

$$h_s = \left( \frac{1}{55} \sim \frac{1}{75} \right) \cdot (l_x + l_y)$$

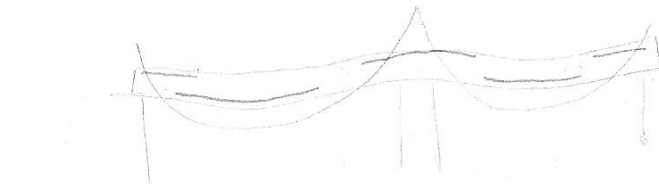
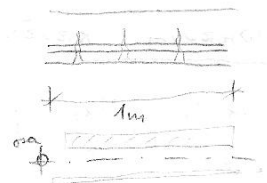


$$h_s = \left( \frac{1}{75} \sim \frac{1}{105} \right) \cdot (l_x + l_y)$$

(do  $l \leq 6,5 \text{ m}$ )

1. MS ... výztužení

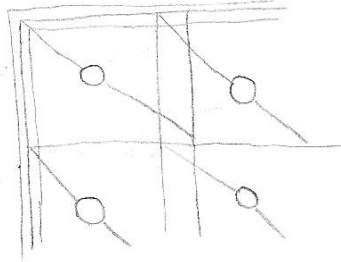
2. MS ... přehrávání (softwarově řešen)

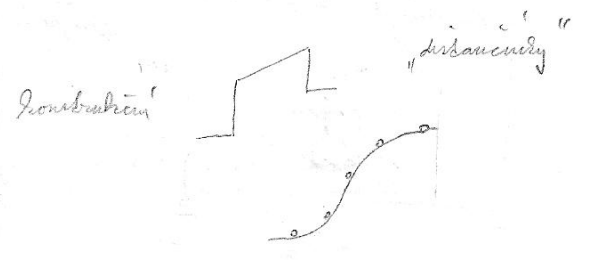
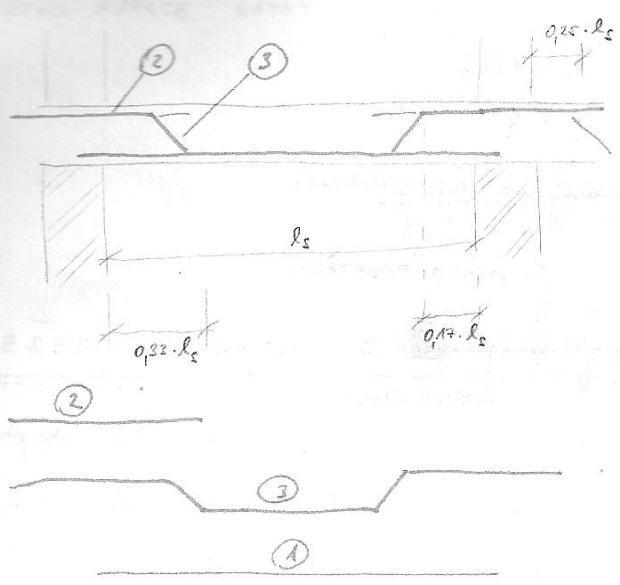


výztužení: výztužení (diagram showing reinforcement layout)

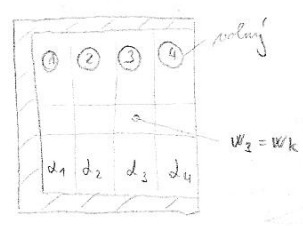
úře

× × PŘESAH (PODLE EC)

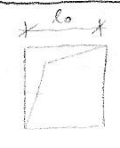




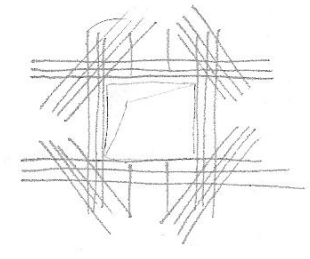
VOLNÉ OKRAJE



OTVORY

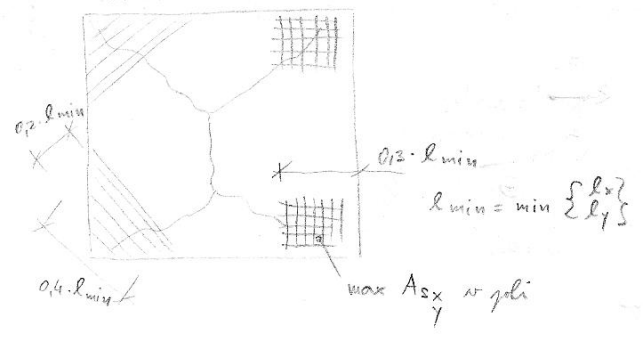


$l_o \leq \frac{1}{2} l$  ... neovládá; průměrou výškou nasládnáme ze krajem + dělá 4 φ 12 do rohů

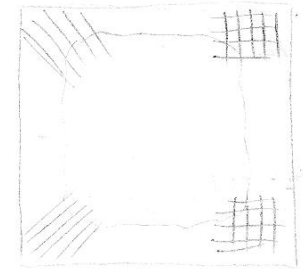


VYZTUŽENÍ ROHU

DOLNÍ PVRCH



HORNÍ PVRCH



vzdálenost pásu v delším směru

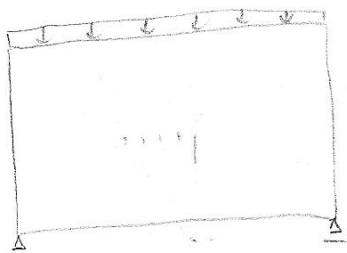
P1 - stavové ~~schéma~~ schém. I. fáze ŽB prvků

T1 - měřítko prvků

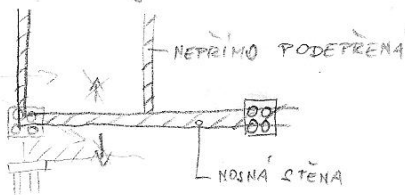
T2 - vyztužení desek

NOSNÉ STĚNY

- realizujeme se vyfocení stěny do stran (stabilitou)



zkontroluj nosné stěny na příkl. vzhledu

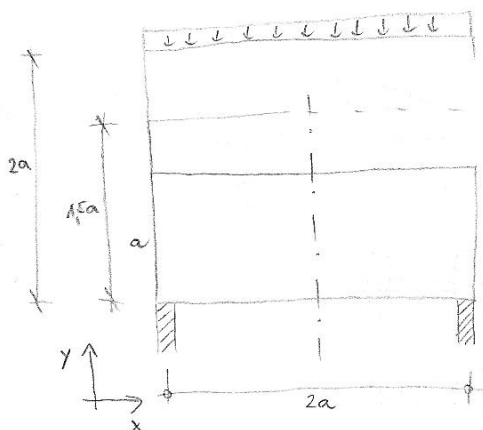


OBYČ. NOSNÍK

$$h = \left(\frac{1}{6} \sim \frac{1}{20}\right) \cdot l$$

NOSNÍKY  $\frac{l}{h} \geq 4$

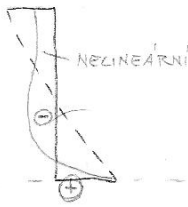
POHĚR:  $\leq 2:1 \Rightarrow$  stěna



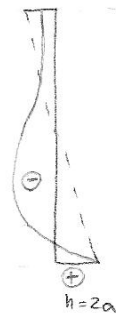
$\sigma_x$



$h=a$   
 $1:2$   
 $h:l$



$h=1.5a$   
 $1.5:2$



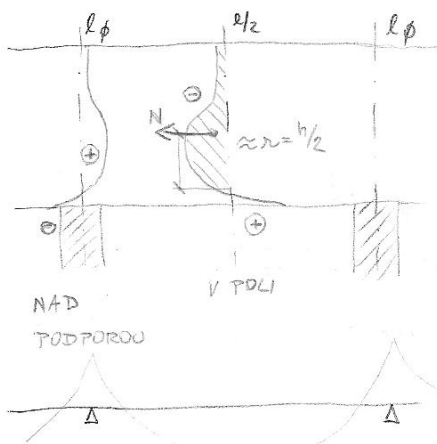
Podle toho příslušného řešení  $A_s$

1.)  $M$  na průřezu řez

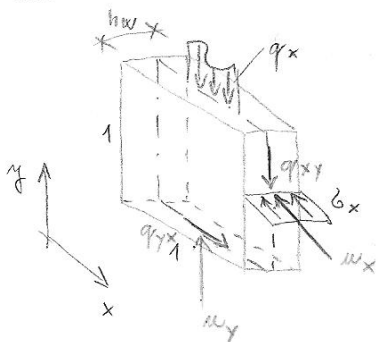
2.)  $M_D = r \cdot F_s$

$$M_D = \frac{h}{2} \cdot A_s \cdot f_{sd}$$

$\Rightarrow A_s = \dots$



VNITŘNÍ SILY



$$\frac{\partial}{\partial x} \cdot h_w = w_x$$

$$\frac{\partial}{\partial y} \cdot h_w = w_y$$

$$q_{xy} = q_{yx}$$

$$q_{xy} = \tau_{xy} \cdot h_w$$

ROVNICE ROVNOVÁHY

$$\frac{\partial M_x}{\partial x} + \frac{\partial T_{xy}}{\partial y} = \rho$$

$$\frac{\partial N_y}{\partial y} + \frac{\partial T_{yx}}{\partial x} = \rho$$

AIRTHO FUNKCE NAPĚTÍ:  $N_x = \frac{\partial^2 F}{\partial y^2}$ ;  $T = -\frac{\partial^2 F}{\partial x \partial y} - q$   
 $N_y = \frac{\partial^2 F}{\partial x^2}$

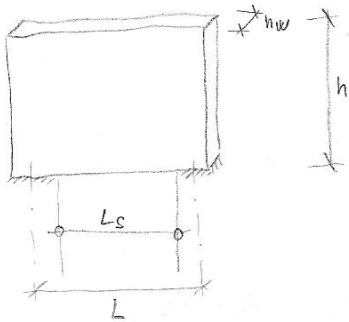
$$\frac{\partial^4 F}{\partial x^2} + 2 \frac{\partial^4 F}{\partial x^2 \partial y^2} + \frac{\partial^4 F}{\partial y^4} = 0$$

ŘEŠENÍ NOSNÝCH STĚN PODLE DOPORUČENÍ CEB - FIB

organizace

FIB

body pole a stěny



L ... konkrétní rozpětí

$$L = \min \left\{ \begin{array}{l} 1,5 \cdot L_s \\ \dots \text{ová vzdálenost} \end{array} \right\}$$

pro je stěnou kolmo, u pravo stěny  $h \geq 0,5 \cdot L$   
 u nájito stěny  $h \geq 0,4 \cdot L$

PODMÍNKA ÚNOSNOSTI

$M_{Ed} \leq M_{Rd}$   
 ↓  
 na prubku  
 kei  $M_{Rd} = z \cdot A_s \cdot f_{yd}$

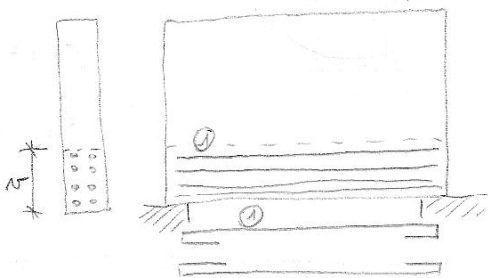
rameno z

$$z = 0,2 \cdot (L + 2 \cdot h); \leq 0,6 \cdot L$$

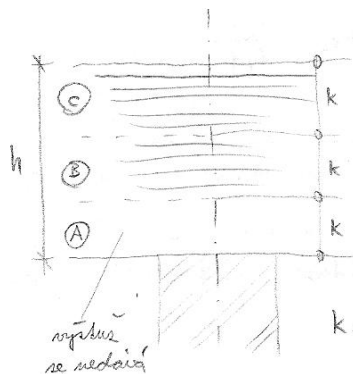
PRO  $\frac{h}{L} \leq 0,5 \Rightarrow z = 0,7 \cdot h$

PRO  $\frac{h}{L} > 0,5 \Rightarrow z = 0,2 \cdot (L + 1,5 \cdot h); \leq 0,5 \cdot L$

VÝSTUŽ V L/2 ... do prubku  $w = 0,25 \cdot h - 0,05 \cdot L$   
 $\leq 0,25 \cdot L$



w podpora



(B), (C) ... hlavní souna

$$A_{s(B)} = 0,5 \cdot \left(3 - \frac{k}{k}\right) \cdot A_s$$

$$A_{s(C)} = A_s - A_{s(B)}$$

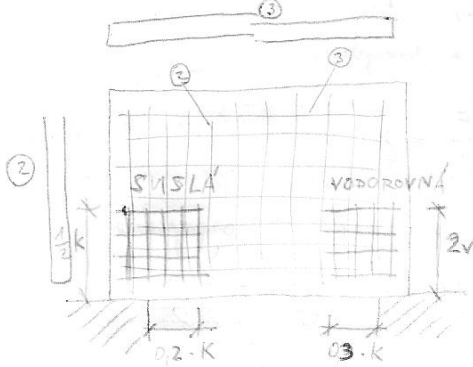
pro  $h > L$ ;  $A_s \rightarrow A_{s(C)}$

$$k = \min \{h; L\}$$

napětí se mění



+ KONSTRUKČNÍ VYZTUŽ



$z \leq 150 \text{ mm}$

$A_s \geq 5 \cdot (W) \text{ [mm}^2/\text{m]}$

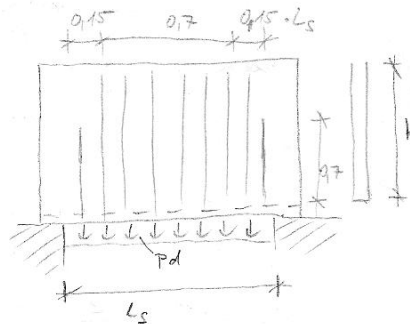
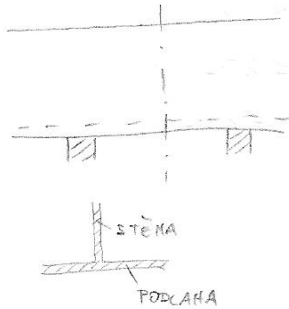
$\leq 600 \text{ mm}^2/\text{m}$

+ dvojnásobná v oblasti podpory

SPECIÁLNÍ PŘÍPADY VYZTUŽENÍ

- saturační systém sloup (např. navěšená podlaha)

- většinou byly převedl do čas. obzaji

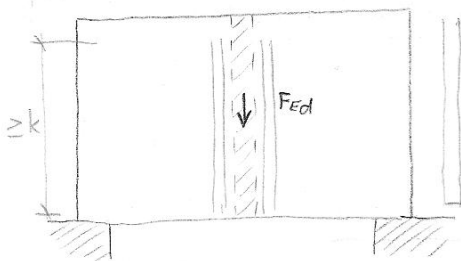


$A_s = \frac{Pd \cdot L_s}{f_{yd}}$

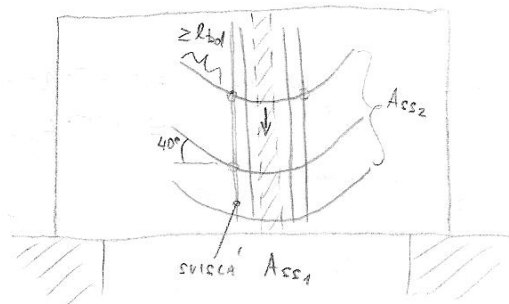
- saturační neobroušená příčná stěnou

MALE SÍLY

VELKÉ SÍLY



$A_{ss} = \frac{F_{ed}}{f_{yd}}$



$A_{ss1} = 0,5 \cdot \frac{F_{ed}}{f_{yd}}$

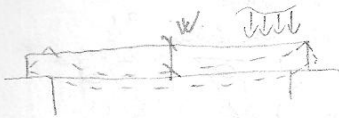
$A_{ss2} = 0,4 \cdot \frac{F_{ed}}{f_{yd}}$

T1 - navěšené hl. nosnou výztuž v poli / v podpoře radané nové stěny

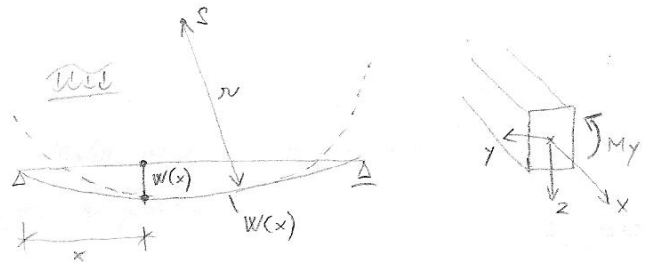
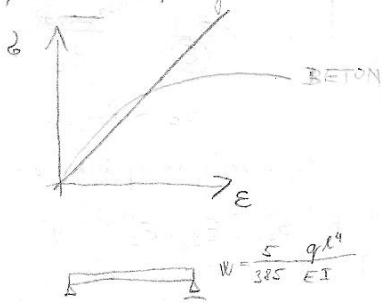
T1 - vnitřní síly na elementu stěny, příběh v poli / nad podporou; podlaha přibližně stanovem plochy výztuže

T2 - vnitřní síly metodou CEB-FIT (řady železa o stěny, rozřez, rozemno, vyztužení, přídavná výztuž

PŘETVOŘENÍ ŽB NOSNÍKŮ (KCI)



- A průřezů  $\Rightarrow$  průřezů nosníků a integrovala momentů na nákladě lin. průřezů a z práce dlouh. momentů



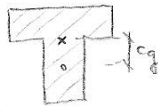
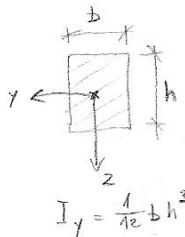
a geometrických  $\frac{1}{r} = -w''(x)$

po dosazení  $\frac{1}{r} = \frac{M_y}{E \cdot I_y}$

dif. rovnice dlouhové čáry  $w'' = -\frac{M_y}{E \cdot I_y}$

nebo podle Mohrovy analogie pro moment w rovně  $x =$

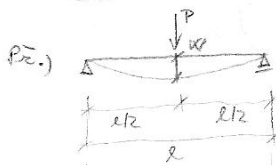
$$\frac{d^2 w}{dx^2} = \frac{M}{EI}$$



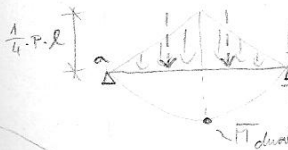
OPAKOVÁNÍ VÝPOČTU PRŮHYBU MOHROVOU METODOU

moment na dualním nosníku, satčením mom. obráscem původního nosníku

$$w = \frac{M}{EI}$$



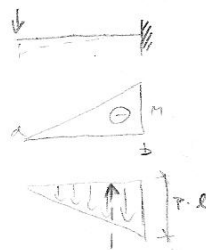
satčená síla  
 $M = \frac{1}{2} \cdot P \cdot \frac{l}{2} = \frac{1}{4} P l$



dualní moment  
 $R = \frac{1}{2} \cdot \frac{l}{2} \cdot \frac{P \cdot l}{4} = \frac{1}{16} P l^2$

$$M = \frac{1}{16} P l^2 \cdot \frac{l}{2} - \frac{1}{16} P l^2 \cdot \frac{1}{6} = \frac{1}{16} P l^3 \left( \frac{1}{2} - \frac{1}{6} \right) = \frac{1}{16} P l^3 \cdot \frac{1}{3} = \frac{1}{48} P l^3$$

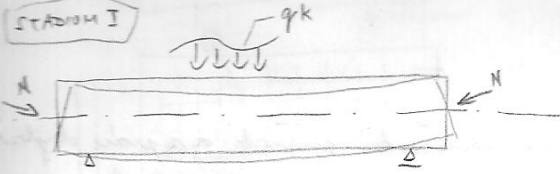
průhyb:  $w_{l/2} = \frac{1}{48} \frac{P l^3}{E \cdot I}$



$$\frac{1}{2} \cdot l \cdot P \cdot l = \frac{1}{2} P l^2$$

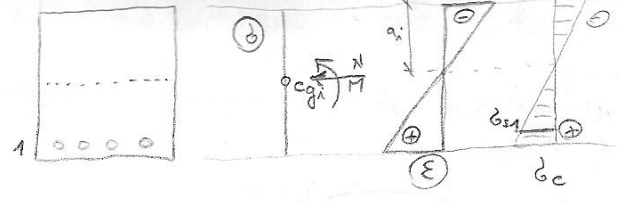
$$w_a = \frac{1}{EI} (M) = \frac{1}{EI} \cdot \frac{1}{2} \cdot P \cdot l^2 \cdot \frac{2}{3} \cdot l = \frac{P l^3}{EI}$$

STADIUM I



STADIUM I

- funguje celý prvek  
I ... beton bez trhlin

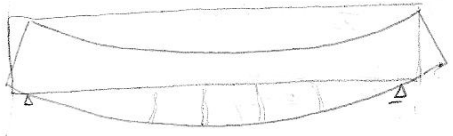


$b_c < f_{ct,eff}$

$b_{s1}$  - rozložená šířka betonu (s-steel)

$b_{s1} = \epsilon_{s1} \cdot E_s$

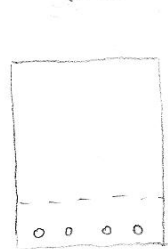
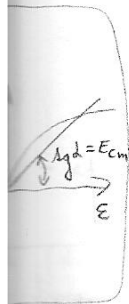
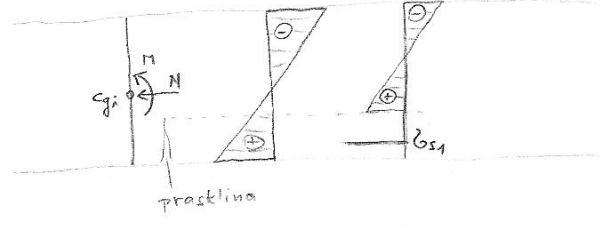
STADIUM II



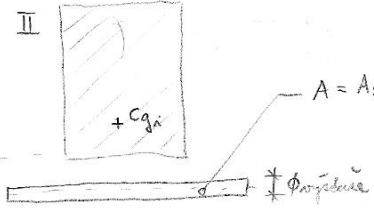
slabá beton - a glubšie beton. príravná murina  
přehl na odlehlejší príravná  
(v trhlinách je vzduch)

STADIUM II

- rovinný prvek sestává i po přetvoření rovinný



IDEAL. PRŮŘEZ



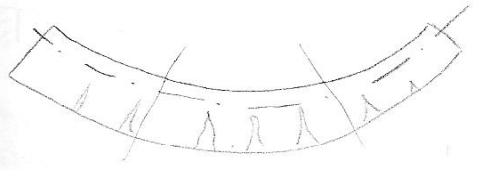
$A = A_{s1} \cdot \frac{E_s}{E_{cm}} = d_E \cdot A_{s1}$

$d_E = \frac{E_s}{E_{cm}}$

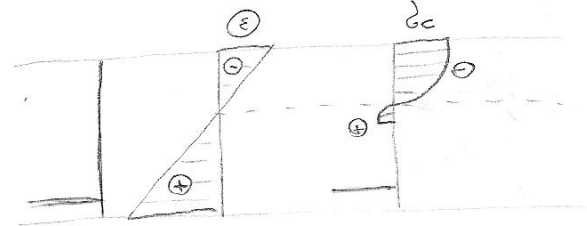
plocha ideál. príravná:  $A_i = A_{cc} + d_E \cdot A_{s1} + \dots$   
 h $c_{gi}$  =  $\frac{A_{cc} \cdot r_c + d_E \cdot A_{s1} \cdot r_{s1} + \dots}{A_i}$

STADIUM III

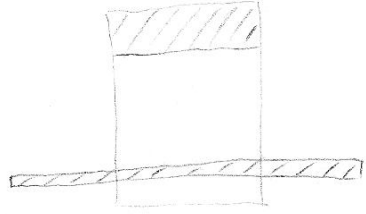
- před rozlomením  
- príravná plně formovaná



STADIUM III

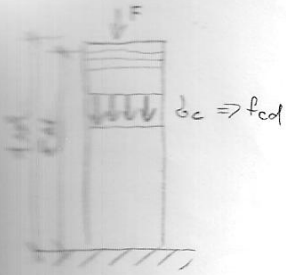


IDEAL. PRŮŘEZ



# DOTVÁZOVÁNÍ BETONU

- účinná modula pružnosti betonu



efektivní modul pružnosti

$$E_{c,eff} = \frac{E_{cm}}{1 + \rho (z_0/t_0)}$$

- T1 - vypočítejte průhyb konzoly nebo prost. nos. Moler. metodou na předpokladu lin. pruž.
- P2 - počítejte řešení, plochu, I sadaného ideálního průřezu
- T1 - účinná pružnost  $\bar{E}_B$  nosičů posuvného křídla - vypočítej účinná
- T2 - vypočít průhyb podle lin. pružnosti Moler. metodou ( řešení, I, plocha ideál. průřezu)